

# Wszechświat Cząstek Elementarnych dla Humanistów

## Oddziaływania słabe

Aleksander Filip Żarnecki

Wykład ogólnouniwersytecki



Wydział Fizyki Uniwersytetu Warszawskiego

7 listopada 2017

- 1 Oddziaływania podstawowe (przypomnienie)
- 2 Neutrina
- 3 Teoria Fermiego
- 4 Model Weinberg'a-Salam'a

- 1 Oddziaływania podstawowe (przypomnienie)
- 2 Neutrino
- 3 Teoria Fermiego
- 4 Model Weinberg'a-Salam'a

## Oddziaływanie grawitacyjne    Źródło: masa

Choć jest najsłabsze ze wszystkich znanych oddziaływań, **dominuje na największych odległościach!** Rządzi ewolucją Wszechświata, rotacją galaktyk, ruchami planet, utrzymuje nas na powierzchni Ziemi...

Wszystkie masy przyciągają się (**nie ma "ujemnej" masy**)

⇒ im większy układ tym większe oddziaływanie...

## Oddziaływanie grawitacyjne      Źródło: masa

Choć jest najłabsze ze wszystkich znanych oddziaływań, **dominuje na największych odległościach!** Rządzi ewolucją Wszechświata, rotacją galaktyk, ruchami planet, utrzymuje nas na powierzchni Ziemi...

Wszystkie masy przyciągają się (**nie ma "ujemnej" masy**)

⇒ im większy układ tym większe oddziaływanie...

## Oddziaływania elektromagnetyczne      Źródło: ładunek elektryczny

**Dominuje w naszym życiu codziennym!**

Decydują o mikroskopowej budowie materii: opisują strukturę atomów, wiązania chemiczne, własności fizyczne materiałów.

Oddziaływania makroskopowe (tarcie, siły sprężystości itp.) są na poziomie mikroskopowym oddziaływaniami elektromagnetycznymi.

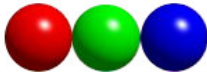
Ładunki dodatnie i ujemne równoważą się

⇒ im większy układ tym mniej widoczne oddziaływania ładunków...

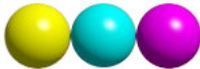
# Oddziaływania podstawowe

## Oddziaływania silne Źródło: ładunek kolorowy

Każdy z kwarków obdarzony jest ładunkiem kolorowym:  $R$ ,  $G$  lub  $B$ .

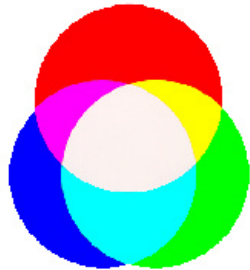


Anty-kwarki mają odpowiednie anty-kolory (kolory "ujemne"):  $\bar{B}$ ,  $\bar{R}$ ,  $\bar{G}$



Jako swobodne mogą istnieć tylko cząstki nie niosące netto ładunku kolorowego (cząstki "białe"):

- bariony (3 kwarki:  $R + G + B$ )
- antybariony (3 antykwarki:  $\bar{R} + \bar{G} + \bar{B}$ )
- mezony (kwark+antykwark, np.  $R + \bar{B}$ )



## Oddziaływania silne      Źródło: ładunek kolorowy

Nośniki oddziaływań silnych, **gluony**, też niosą **ładunek kolorowy** i mogą ze sobą oddziaływać. Prowadzi to do “odwrotnej” zależności sprzężenia od odległości między ładunkami:

- na małych odległościach oddziaływanie jest słabe  
⇒ **asymptotyczna swoboda**
- na dużych odległościach oddziaływanie szybko rośnie  
⇒ **uwięzienie kwarków**

## Oddziaływania silne      Źródło: ładunek kolorowy

Nośniki oddziaływań silnych, **gluony**, też niosą **ładunek kolorowy** i mogą ze sobą oddziaływać. Prowadzi to do “odwrotnej” zależności sprzężenia od odległości między ładunkami:

- na małych odległościach oddziaływanie jest słabe  
⇒ **asymptotyczna swoboda**
- na dużych odległościach oddziaływanie szybko rośnie  
⇒ **uwięzienie kwarków**

Oddziaływania silne spajają kwarki w protony i neutrony.

(oddziaływanie silne kolorowe)



## Oddziaływania silne      Źródło: ładunek kolorowy

Nośniki oddziaływań silnych, **gluony**, też niosą **ładunek kolorowy** i mogą ze sobą oddziaływać. Prowadzi to do “odwrotnej” zależności sprzężenia od odległości między ładunkami:

- na małych odległościach oddziaływanie jest słabe  
⇒ **asymptotyczna swoboda**
- na dużych odległościach oddziaływanie szybko rośnie  
⇒ **uwięzienie kwarków**

Oddziaływania silne spajają kwarki w protony i neutrony.

(oddziaływanie silne kolorowe)

Mimo, że nukleony są “białe” to oddziaływania ich składników powodują efektywne przyciąganie krótkozasięgowe ⇒ powstają jądra atomowe

(oddziaływanie silne jądrowe)

Gdy powstawał model kwarków, wystarczyły trzy zapachy ( $u$ ,  $d$ ,  $s$ ), ale już w roku 1970 zauważono, że powinno ich być więcej...

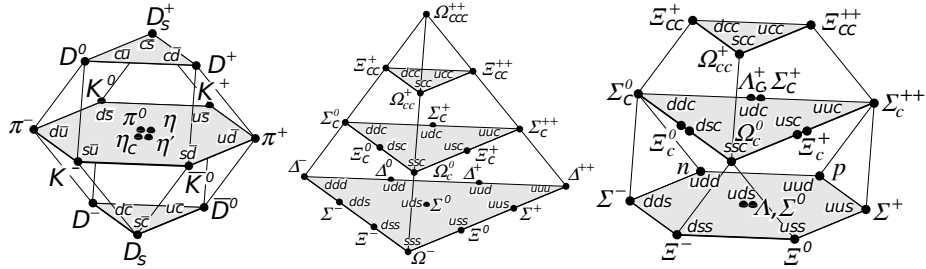
Czwarty kwark był potrzebny, żeby wytłumaczyć znikanie pewnych reakcji.

# Ciężkie kwarki (uzupełnienie)

Gdy powstawał model kwarków, wystarczyły trzy zapachy ( $u, d, s$ ), ale już w roku 1970 zauważono, że powinno ich być więcej...

Czwarty kwark był potrzebny, żeby wytłumaczyć znikanie pewnych reakcji.

Pierwsza cząstka zawierająca kwark  $c$  została odkryta w roku 1974. Potem nastąpiła lawina. Nasz "układ okresowy" stał się trójwymiarowy



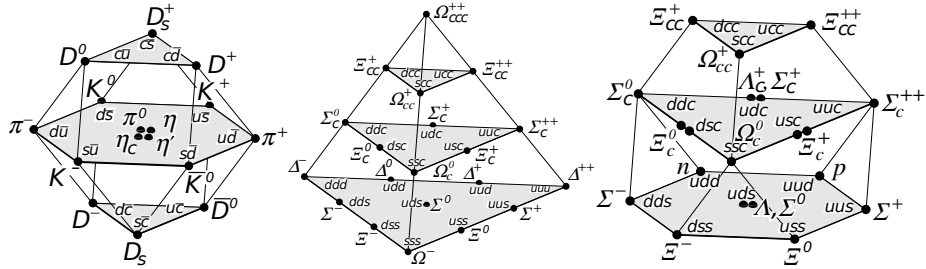
Każda kombinacja trzech kwarków lub kwark-antykwarok odpowiada jakiejś cząstce (w często więcej niż jednej!)

# Ciężkie kwarki (uzupełnienie)

Gdy powstawał model kwarków, wystarczyły trzy zapachy ( $u, d, s$ ), ale już w roku 1970 zauważono, że powinno ich być więcej...

Czwarty kwark był potrzebny, żeby wytłumaczyć znikanie pewnych reakcji.

Pierwsza cząstka zawierająca kwark  $c$  została odkryta w roku 1974. Potem nastąpiła lawina. Nasz "układ okresowy" stał się trójwymiarowy



Każda kombinacja trzech kwarków lub kwark-antykwarok odpowiada jakiejś cząstce (w często więcej niż jednej!)

W 1977 roku odkryto kwark  $b \Rightarrow$  jeszcze więcej możliwości...

# Masa protonu (uzupełnienie)

Masa protonu wynosi  $m_p = 938 \text{ MeV}$ .

Masy kwarków  $u$  i  $d$  to odpowiednio:  $m_u \sim 3 \text{ MeV}$  i  $m_d \sim 7 \text{ MeV}$

Okazuje się więc, że:

$$\sum_{uud} m_q \ll m_p$$

Z czego pochodzi masa protonu?...

# Masa protonu (uzupełnienie)

Masa protonu wynosi  $m_p = 938 \text{ MeV}$ .

Masy kwarków  $u$  i  $d$  to odpowiednio:  $m_u \sim 3 \text{ MeV}$  i  $m_d \sim 7 \text{ MeV}$

Okazuje się więc, że:

$$\sum_{uud} m_q \ll m_p$$

Z czego pochodzi masa protonu?...

Obrazek w którym proton składa się z 3 kwarków jest skrajnie uproszczony. Te trzy kwarki nazywamy **kwarkami walencyjnymi**, one decydują o własnościach cząstki (**ładunku, liczbach kwantowych**)

# Masa protonu (uzupełnienie)

Masa protonu wynosi  $m_p = 938 \text{ MeV}$ .

Masy kwarków  $u$  i  $d$  to odpowiednio:  $m_u \sim 3 \text{ MeV}$  i  $m_d \sim 7 \text{ MeV}$

Okazuje się więc, że:

$$\sum_{uud} m_q \ll m_p$$

Z czego pochodzi masa protonu?...

Obrazek w którym proton składa się z 3 kwarków jest skrajnie uproszczony. Te trzy kwarki nazywamy **kwarkami walencyjnymi**, one decydują o własnościach cząstki (**ładunku, liczbach kwantowych**)

Ale oprócz nich w protonie mogą występować **pary kwark-antykwar** (**para jako całość jest obojętna, nie niesie żadnych liczb kwantowych**)

# Masa protonu (uzupełnienie)

Masa protonu wynosi  $m_p = 938 \text{ MeV}$ .

Masy kwarków  $u$  i  $d$  to odpowiednio:  $m_u \sim 3 \text{ MeV}$  i  $m_d \sim 7 \text{ MeV}$

Okazuje się więc, że:

$$\sum_{uud} m_q \ll m_p$$

Z czego pochodzi masa protonu?...

Obrazek w którym proton składa się z 3 kwarków jest skrajnie uproszczony. Te trzy kwarki nazywamy **kwarkami walencyjnymi**, one decydują o własnościach cząstki (**ładunku, liczbach kwantowych**)

Ale oprócz nich w protonie mogą występować **pary kwark-antykwar** (**para jako całość jest obojętna, nie niesie żadnych liczb kwantowych**)

W protonie są też **gluony**, które spajają go w całość.

**Masa protonu pochodzi głównie z energii wiązania!**



- 1 Oddziaływania podstawowe (przypomnienie)
- 2 Neutrina**
- 3 Teoria Fermiego
- 4 Model Weinberg'a-Salam'a

## Promieniotwórczość

Odkrycie promieniotwórczości uranu: **Henri Becquerel, 1896.**

**1903** - nagroda Nobla, wraz z **M.Skłodowską i P.Curie**

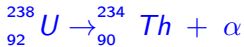
## Promieniotwórczość

Odkrycie promieniotwórczości uranu: **Henri Becquerel, 1896.**

**1903** - nagroda Nobla, wraz z **M.Skłodowską i P.Curie**

**E.Rutherford and F.Soddy** opublikowali pracę tłumaczącą promieniotwórczość jako wynik **przemiany pierwiastków**: jeden rodzaj atomu emituje promieniowanie przemieniając się w atom innego pierwiastka.

- promieniowanie  $\alpha$



jądra helu:  $2p2n$

- promieniowanie  $\beta$



elektrony ( $\beta^+$  - pozytony)

- promieniowanie  $\gamma$



wysokoenergetyczne fotony

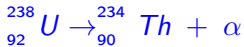
## Promieniotwórczość

Odkrycie promieniotwórczości uranu: **Henri Becquerel, 1896.**

**1903** - nagroda Nobla, wraz z **M.Skłodowską i P.Curie**

**E.Rutherford and F.Soddy** opublikowali pracę tłumaczącą promieniotwórczość jako wynik **przemiany pierwiastków**: jeden rodzaj atomu emituje promieniowanie przemieniając się w atom innego pierwiastka.

- promieniowanie  $\alpha$



jądra helu:  $2p2n$

- promieniowanie  $\beta$



elektrony ( $\beta^+$  - pozytony)

- promieniowanie  $\gamma$

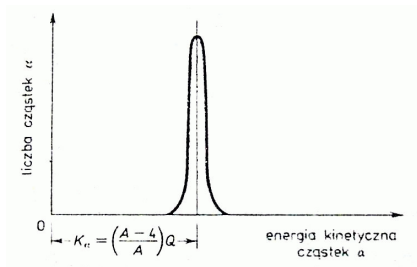


wysokoenergetyczne fotony

Oczekiwano, że cząstki promieniowania powinny nieść **energię  $E_0$**  odpowiadającą różnicy mas izotopów...

## Rozpady $\alpha$ i $\gamma$

Dyskretne widmo energii:

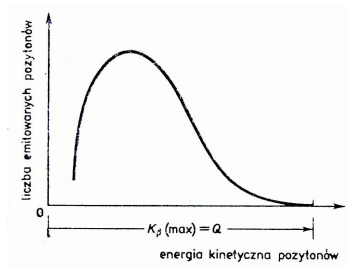


Energia emitowanej cząstki

$$E_{\alpha} = E_0 \equiv \Delta m c^2$$

## Rozpad $\beta$

Ciągłe widmo energii:



Naruszenie zasady zachowania energii !?

Energia emitowanych elektronów

$$E_{\beta} \leq E_0 \equiv \Delta m c^2$$

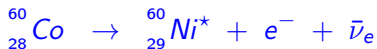
## Hipoteza Pauliego

Aby “uratować” zasadę zachowania energii Pauli zaproponował istnienie neutrino: dodatkowej cząstki unoszącej część energii w rozpadzie  $\beta$ :



## Hipoteza Pauliego

Aby “uratować” zasadę zachowania energii Pauli zaproponował istnienie neutrino: dodatkowej cząstki unoszącej część energii w rozpadzie  $\beta$ :

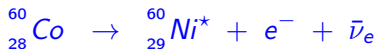


Neutrino nie oddziałuje silnie (**nie ma koloru**), elektromagnetycznie (**nie ma ładunku**) ani grawitacyjnie (**ma zaniedbywalną masę**).

Aby opisać rozpad  $\beta$  (**z udziałem neutrino**) trzeba wprowadzić nowe, dodatkowe oddziaływanie: **oddziaływanie słabe**.

## Hipoteza Pauliego

Aby “uratować” zasadę zachowania energii Pauli zaproponował istnienie neutrino: dodatkowej cząstki unoszącej część energii w rozpadzie  $\beta$ :



Neutrino nie oddziałuje silnie (nie ma koloru), elektromagnetycznie (nie ma ładunku) ani grawitacyjnie (ma zaniedbywalną masę).

Aby opisać rozpad  $\beta$  (z udziałem neutrino) trzeba wprowadzić nowe, dodatkowe oddziaływanie: oddziaływanie słabe.

Na poziomie nukleonów rozpad  $\beta^-$  odpowiada przemianie:



rozpad ten zachodzi również dla swobodnego neutronu...



## Orbitalny moment pędu

Elektron krążący wokół jądra atomu ma związany z tym moment pędu.

Moment pędu jest tym dla ruchu obrotowego czym pęd dla ruchu postępowego. W układach izolowanych jest ściśle zachowany.

## Orbitalny moment pędu

Elektron krążący wokół jądra atomu ma związany z tym moment pędu.

Moment pędu jest tym dla ruchu obrotowego czym pęd dla ruchu postępowego. W układach izolowanych jest ściśle zachowany.

Krążący wokół jądra ładunek wytwarza też moment magnetyczny!

Tak jak pętla z drutu w której płynie prąd...

## Orbitalny moment pędu

Elektron krążący wokół jądra atomu ma związany z tym moment pędu. Moment pędu jest tym dla ruchu obrotowego czym pęd dla ruchu postępowego. W układach izolowanych jest ściśle zachowany.

Krążący wokół jądra ładunek wytwarza też moment magnetyczny!  
Tak jak pętla z drutu w której płynie prąd...

Jeśli atom/jądro/cząstka ma niezerowy moment magnetyczny to w silnym polu magnetycznym stara się ustawić momentem magnetycznym wzdłuż kierunku pola.

Tor ruchu cząstki może też być zakrzywiany w niejednorodnym polu magnetycznym

⇒ w ten sposób możemy właśnie badać momenty pędu

## Spinowy moment pędu “spin”

W 1925 roku **Wolfgang Pauli** zapostulował, że **dwa elektrony** w atomie **nie mogą** być w stanie opisanym przez **ten sam zestaw liczb kwantowych**.

Jednocześnie jednak musiał wprowadzić dodatkową “wewnętrzną” liczbę kwantową dla elektronu, która mogła przyjmować tylko dwie wartości.

## Spinowy moment pędu “spin”

W 1925 roku **Wolfgang Pauli** zapostulował, że **dwa elektrony** w atomie **nie mogą** być w stanie opisanym przez **ten sam zestaw liczb kwantowych**.

Jednocześnie jednak musiał wprowadzić dodatkową “wewnętrzną” liczbę kwantową dla elektronu, która mogła przyjmować tylko dwie wartości.

Wkrótce potem **George Uhlenbeck** i **Samuel Goudsmit**, doszedli do wniosku, że elektron ma swój własny moment pędu - spin.

Orientacja spinu elektronu stanowi właśnie dodatkową liczbę kwantową potrzebną, aby zakaz Pauliego dobrze opisywał atomy.

## Spinowy moment pędu “spin”

W 1925 roku **Wolfgang Pauli** zapostulował, że dwa elektrony w atomie nie mogą być w stanie opisanym przez ten sam zestaw liczb kwantowych.

Jednocześnie jednak musiał wprowadzić dodatkową “wewnętrzną” liczbę kwantową dla elektronu, która mogła przyjmować tylko dwie wartości.

Wkrótce potem **George Uhlenbeck** i **Samuel Goudsmit**, doszedli do wniosku, że elektron ma swój własny moment pędu - spin.

Orientacja spinu elektronu stanowi właśnie dodatkową liczbę kwantową potrzebną, aby zakaz Pauliego dobrze opisywał atomy.

Mechanika kwantowa przewiduje, że dla dowolnie wybranego kierunku  $Z$  rzut spinu  $s$  elektronu może przyjąć tylko dwie wartości:  $s_z = \pm \frac{1}{2} \hbar$ .

⇒ dlatego mówimy, że elektron ma “spin połówkowy” (jest fermionem).

## Spinowy moment pędu “spin”

W 1925 roku **Wolfgang Pauli** zapostulował, że dwa elektrony w atomie nie mogą być w stanie opisanym przez ten sam zestaw liczb kwantowych.

Jednocześnie jednak musiał wprowadzić dodatkową “wewnętrzną” liczbę kwantową dla elektronu, która mogła przyjmować tylko dwie wartości.

Wkrótce potem **George Uhlenbeck** i **Samuel Goudsmit**, doszedli do wniosku, że elektron ma swój własny moment pędu - spin.

Orientacja spinu elektronu stanowi właśnie dodatkową liczbę kwantową potrzebną, aby zakaz Pauliego dobrze opisywał atomy.

Mechanika kwantowa przewiduje, że dla dowolnie wybranego kierunku  $Z$  rzut spinu  $s$  elektronu może przyjąć tylko dwie wartości:  $s_z = \pm \frac{1}{2} \hbar$ .

⇒ dlatego mówimy, że elektron ma “spin połówkowy” (jest fermionem).

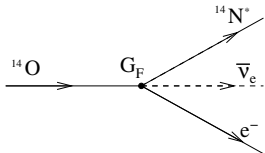
W przypadku poruszającego się elektronu mówimy, że jest

- **prawoskrętny**, jeśli spin jest **zgodny** z kierunkiem pędu (rzut  $+\frac{1}{2}\hbar$ ),
- **lewoskrętny**, jeśli spin jest **przeciwny** do kierunku pędu (rzut  $-\frac{1}{2}\hbar$ ).

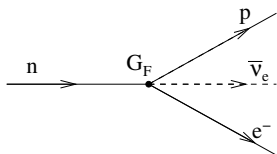
- 1 Oddziaływania podstawowe (przypomnienie)
- 2 Neutrino
- 3 Teoria Fermiego**
- 4 Model Weinberg'a-Salam'a



W 1933 roku **Enrico Fermi** zaproponował teorię **rozpadu  $\beta$** :



Na poziomie **nukleonów**:



Uniwersalne **sprężenie punktowe**  
 $\Rightarrow$  jeden wolny parametr:  $G_F$   
(obecnie nazwany "stałą Fermiego")

Czas życia izotopu zależy jedynie od energii rozpadu  $E_0$

$$\frac{1}{\tau} = \frac{G_F^2 E_0^5}{30 h \pi^3}$$

Stała Fermiego jest bardzo mała

$$G_F \approx 1.2 \cdot 10^{-5} \text{ GeV}^{-2}$$

$\Rightarrow$  długie czasy życia

**Teoria Fermiego** zakładała na początku, że oddziaływania **słabe** mają taką samą strukturę jak oddziaływania **elektromagnetyczne**.

**Model w tym kształcie przetrwał ponad 20 lat.**

**Teoria Fermiego** zakładała na początku, że oddziaływania **słabe** mają taką samą strukturę jak oddziaływania **elektromagnetyczne**.

**Model w tym kształcie przetrwał ponad 20 lat.**

## **Doświadczenie Wu** 1957

Pani **C.S.Wu** zaobserwowała **łamanie parzystości** w rozpadzie



W niskiej temperaturze większość **jąderek kobaltu** ustawia się **spinem** wzdłuż kierunku pola magnetycznego.  $\Rightarrow$  Wu zaobserwowała **nadwyżkę** elektronów emitowanych w kierunku **przeciwnym do spinu jądra**.

**Teoria Fermiego** zakładała na początku, że oddziaływania **słabe** mają taką samą strukturę jak oddziaływania **elektromagnetyczne**.

**Model w tym kształcie przetrwał ponad 20 lat.**

## **Doświadczenie Wu** 1957

Pani **C.S.Wu** zaobserwowała **łamanie parzystości** w rozpadzie



W niskiej temperaturze większość **jąderek kobaltu** ustawia się **spinem** wzdłuż kierunku pola magnetycznego.  $\Rightarrow$  Wu zaobserwowała **nadwyżkę** elektronów emitowanych w kierunku **przeciwnym do spinu jądra**.

Aby wytłumaczyć wynik doświadczenia trzeba było przyjąć, że:

- produkowane elektrony są zawsze **“lewoskrętne”**  
(spin przeciwny do pędu)
- produkowane anty-neutrino są zawsze **“prawoskrętne”**  
(spin zgodny z pędem)

## Parzystość

Transformacja przystości (P):

$$(x, y, z) \rightarrow (-x, -y, -z)$$

odwrócenie kierunku osi wszystkich współrzędnych przestrzennych.  
Jest to równoważne operacji odbicia względem płaszczyzny ("w lustrze").

## Parzystość

Transformacja przystości (P):

$$(x, y, z) \rightarrow (-x, -y, -z)$$

odwrócenie kierunku osi wszystkich współrzędnych przestrzennych.  
Jest to równoważne operacji odbicia względem płaszczyzny ("w lustrze").

Opis oddziaływań elektromagnetycznych **nie zmienia się** przy odbiciu  
(odwrócenie wszystkich współrzędnych przestrzennych)

Gdy obserwujemy w lustrze oddziaływania ładunków elektrycznych to zachodzą one według dokładnie tych samych praw, co w rzeczywistym (nie odbitym) świecie

⇒ Mówimy, że **oddziaływania EM zachowują przystość**.

## Łamanie parzystości

**Spin** cząstki nie zmienia się przy odbiciu (!) (tak jak moment pędu), ale zmienia się kierunek jej pędu  $\Rightarrow$  zmienia się skrętność cząstki:

- cząstka lewoskrętna zamienia się na prawoskrętną
- cząstka prawoskrętna zamienia się na lewoskrętną

## Łamanie parzystości

Spin cząstki nie zmienia się przy odbiciu (!) (tak jak moment pędu), ale zmienia się kierunek jej pędu  $\Rightarrow$  zmienia się skrętność cząstki:

- cząstka lewoskrętna zamienia się na prawoskrętną
- cząstka prawoskrętna zamienia się na lewoskrętną

Doświadczenie Wu:



Po odwróceniu współrzędnych (transformacja parzystości P):



Ale okazuje się, że takiej konfiguracji nie obserwujemy !

$\Rightarrow$  oddziaływania słabe łamią parzystość

Patrząc na przebieg pomiaru możemy stwierdzić, czy patrzymy “wprost”, czy na odbicie w lustrze...



## Sprężenie ładunkowe

Transformacja zamiany cząstki na anty-cząstkę (C).

Rozpad  $\pi^-$ :            wynik doświadczeń

$$\pi^- \rightarrow \mu_L^- + \bar{\nu}_{\mu,R}$$

## Sprężenie ładunkowe

Transformacja zamiany cząstki na anty-cząstkę (C).

Rozpad  $\pi^-$ :      **wynik doświadczeń**

$$\pi^- \rightarrow \mu_L^- + \bar{\nu}_{\mu,R}$$

Po odwróceniu współrzędnych (P):

$$\pi^- \rightarrow \mu_R^- + \bar{\nu}_{\mu,L}$$

Po zamianie cząstek na antycząstki (C):

$$\pi^+ \rightarrow \mu_L^+ + \nu_{\mu,R}$$

## Sprężenie ładunkowe

Transformacja zamiany cząstki na anty-cząstkę (C).

Rozpad  $\pi^-$ :            **wynik doświadczeń**

$$\pi^- \rightarrow \mu_L^- + \bar{\nu}_{\mu,R}$$

Po odwróceniu współrzędnych (P):            **Nie obserwujemy !**

$$\pi^- \rightarrow \mu_R^- + \bar{\nu}_{\mu,L}$$

Po zamianie cząstek na antycząstki (C):            **Nie obserwujemy !**

$$\pi^+ \rightarrow \mu_L^+ + \nu_{\mu,R}$$

## Sprzężenie ładunkowe

Transformacja zamiany cząstki na anty-cząstkę (C).

Rozpad  $\pi^-$ :            **wynik doświadczeń**

$$\pi^- \rightarrow \mu_L^- + \bar{\nu}_{\mu,R}$$

Po odwróceniu współrzędnych (P):            **Nie obserwujemy !**

$$\pi^- \rightarrow \mu_R^- + \bar{\nu}_{\mu,L}$$

Po zamianie cząstek na antycząstki (C):            **Nie obserwujemy !**

$$\pi^+ \rightarrow \mu_L^+ + \nu_{\mu,R}$$

Złożenie obu transformacji (CP):            **Obserwujemy !!!**

$$\pi^+ \rightarrow \mu_R^+ + \nu_{\mu,L}$$

**Oddziaływania słabe zachowują CP !!!**

Podczas gdy zarówno C jak i P jest w oddz. słabych łamane

- 1 Oddziaływania podstawowe (przypomnienie)
- 2 Neutrino
- 3 Teoria Fermiego
- 4 Model Weinberg'a-Salam'a

# Model Weinberg'a-Salam'a

## Nowy model oddziaływań słabych 1968

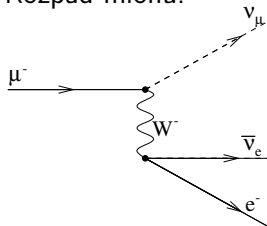
Weinberg i Salam zauważyli, że precyzyjny opis oddziaływań neutrin wymaga założenia, że zachodzą one przez wymianę **bardzo masywnego** bozonu  $W^\pm$

“Słabość” oddziaływania nie wynika ze stałej sprzężenia a z **dużej masy bozonu**:

$$G_F \sim \frac{g^2}{m_W^2}$$

Przyjmując, że **sprzężenie**  $g$  powinno być takie jak dla oddziaływań EM, Weinberg i Salam oszacowali masę  $m_W \sim 80 \text{ GeV}$ ...

Rozpad mionu:



# Model Weinberg'a-Salam'a

## Nowy model oddziaływań słabych 1968

Weinberg i Salam zauważyli, że precyzyjny opis oddziaływań neutrino wymaga założenia, że zachodzą one przez wymianę **bardzo masywnego** bozonu  $W^\pm$

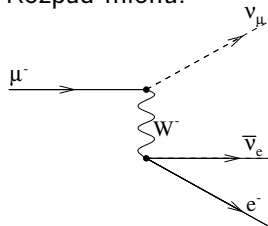
“Słabość” oddziaływania nie wynika ze stałej sprzężenia a z **dużej masy bozonu**:

$$G_F \sim \frac{g^2}{m_W^2}$$

Przyjmując, że **sprzężenie**  $g$  powinno być takie jak dla oddziaływań EM, Weinberg i Salam oszacowali masę  $m_W \sim 80 \text{ GeV}$ ...

Model przewidywał też istnienie **ciężkiego neutralnego bozonu**  $Z^0$ , którego masę oszacowali na  $m_Z \sim 90 \text{ GeV} \Rightarrow$  **nowy typ reakcji !!!**

Rozpad mionu:



# Model Weinberg'a-Salam'a

## Potwierdzenie doświadczalne

W roku 1963 uruchomiona została pierwsza **wiązka neutrin** w CERN  
 $\Rightarrow$  początek precyzyjnych pomiarów oddziaływań neutrin

Do pomiarów tych oddziaływań zbudowano eksperyment **Gargamelle** komorę pęcherzykową o długości 4.8 m, około 12 m<sup>3</sup> freonu (CF<sub>3</sub>Br).

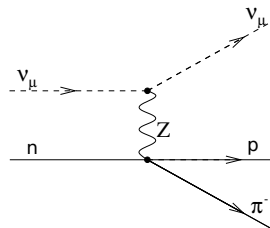
Oprócz reakcji oczekiwanych jako "odwrotne" procesy  $\beta$  (wymiana  $W^\pm$ )



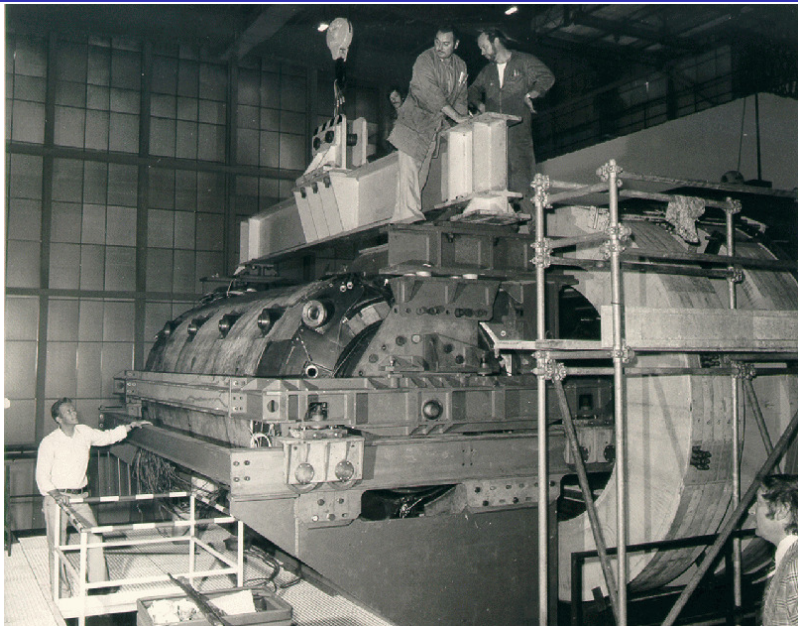
zaobserwowano także procesy **bez przekazu ładunku** (tzw. prądy neutralne "**Neutral Currents**"; 1973):



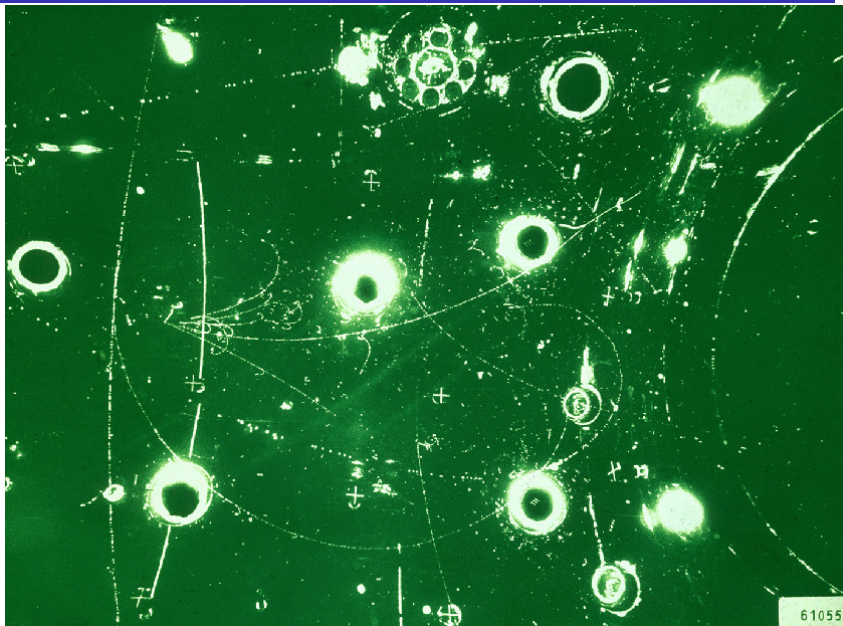
$\Rightarrow$  potwierdzenie przewidywań modelu







# Pierwszy zarejestrowany przypadek wymiany $Z^0$



# Model Weinberg'a-Salam'a

## Duplety cząstek

Aby móc wytłumaczyć obserwowane reakcje zachodzące poprzez wymianę  $W^\pm$  należało dodatkowo założyć, że cząstki występują w dubletach:

$$\begin{array}{l}
 U \Rightarrow \\
 D \Rightarrow
 \end{array}
 \begin{pmatrix} \nu_e \\ e^- \end{pmatrix}
 \begin{pmatrix} \nu_\mu \\ \mu^- \end{pmatrix}
 \begin{pmatrix} \nu_\tau \\ \tau^- \end{pmatrix}
 \quad
 \begin{pmatrix} u \\ d \end{pmatrix}
 \begin{pmatrix} c \\ s \end{pmatrix}
 \begin{pmatrix} t \\ b \end{pmatrix}
 \quad
 Q_U = Q_D + 1e(!)$$

# Model Weinberg'a-Salam'a

## Duplety cząstek

Aby móc wytłumaczyć obserwowane reakcje zachodzące poprzez wymianę  $W^\pm$  należało dodatkowo założyć, że cząstki występują w dubletach:

$$\begin{array}{l}
 U \Rightarrow \\
 D \Rightarrow
 \end{array}
 \begin{pmatrix} \nu_e \\ e^- \end{pmatrix}
 \begin{pmatrix} \nu_\mu \\ \mu^- \end{pmatrix}
 \begin{pmatrix} \nu_\tau \\ \tau^- \end{pmatrix}
 \quad
 \begin{pmatrix} u \\ d \end{pmatrix}
 \begin{pmatrix} c \\ s \end{pmatrix}
 \begin{pmatrix} t \\ b \end{pmatrix}
 \quad
 Q_U = Q_D + 1e(!)$$

Fermiony tworzące dublet mogą **przebrać jeden w drugi** poprzez emisję (lub absorpcję)  $W^\pm$ . Przykładowo:

$$\begin{array}{ll}
 \mu^- \rightarrow \nu_\mu + W^- & \text{czyli } D \rightarrow U + W^- \\
 c \rightarrow s + W^+ & U \rightarrow D + W^+
 \end{array}$$

# Model Weinberg'a-Salam'a

## Duplety cząstek

Aby móc wytłumaczyć obserwowane reakcje zachodzące poprzez wymianę  $W^\pm$  należało dodatkowo założyć, że cząstki występują w dubletach:

$$\begin{array}{l}
 U \Rightarrow \left( \begin{array}{c} \nu_e \\ e^- \end{array} \right) \left( \begin{array}{c} \nu_\mu \\ \mu^- \end{array} \right) \left( \begin{array}{c} \nu_\tau \\ \tau^- \end{array} \right) \quad \left( \begin{array}{c} u \\ d \end{array} \right) \left( \begin{array}{c} c \\ s \end{array} \right) \left( \begin{array}{c} t \\ b \end{array} \right) \quad Q_U = Q_D + 1e(!) \\
 D \Rightarrow
 \end{array}$$

Fermiony tworzące dublet mogą **przechodzić jeden w drugi** poprzez emisję (lub absorbcję)  $W^\pm$ . Przykładowo:

$$\begin{array}{ll}
 \mu^- \rightarrow \nu_\mu + W^- & \text{czyli } D \rightarrow U + W^- \\
 c \rightarrow s + W^+ & U \rightarrow D + W^+
 \end{array}$$

Możliwe są też reakcje “krecji” i “anihilacji”:

$$\begin{array}{ll}
 W^- \rightarrow \mu^- + \bar{\nu}_\mu & \text{czyli } W^- \rightarrow D + \bar{U} \\
 c + \bar{s} \rightarrow W^+ & U + \bar{D} \rightarrow W^+
 \end{array}$$

Wszystkie te reakcje mogą też zachodzić w drugą stronę...

Oddziaływania zachodzące poprzez wymianę  $W^\pm$  nazywane są (historycznie) procesami z wymianą prądów naładowanych (Charged Current - CC).

# Model Weinberg'a-Salam'a

Oddziaływania zachodzące poprzez **wymianę  $W^\pm$**  nazywane są (historycznie) procesami z **wymianą prądów naładowanych** (Charged Current - CC).

## **Oddziaływania z wymianą $Z^0$**

Historycznie nazywane procesami z **wymiana prądów neutralnych** (Neutral Current - NC).

# Model Weinberg'a-Salam'a

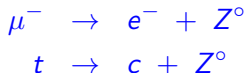
Oddziaływania zachodzące poprzez **wymianę  $W^\pm$**  nazywane są (historycznie) procesami z **wymianą prądów naładowanych** (Charged Current - CC).

## Oddziaływania z wymianą $Z^0$

Historycznie nazywane procesami z **wymiana prądów neutralnych** (Neutral Current - NC).

**Emisja lub absorbcja bozonu  $Z^0$  nie zmienia zapachu cząstki!**  
 Podobnie jak emisja/absorbcja fotonu w oddziaływaniach EM.

Nie są możliwe procesy typu:





# Model Weinberg'a-Salam'a

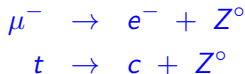
Oddziaływania zachodzące poprzez wymianę  $W^\pm$  nazywane są (historycznie) procesami z wymianą prądów naładowanych (Charged Current - CC).

## Oddziaływania z wymianą $Z^0$

Historycznie nazywane procesami z wymiana prądów neutralnych (Neutral Current - NC).

Emisja lub absorbcja bozonu  $Z^0$  nie zmienia zapachu cząstki!  
 Podobnie jak emisja/absorbcja fotonu w oddziaływaniach EM.

Nie są możliwe procesy typu:



Oddziaływaniom słabym, zarówno oddziaływaniom NC jak i CC, podlegają WSZYSTKIE cząstki materii (kwarki i leptony oraz ich antycząstki)!  
 Są to jedyne oddziaływania w których biorą udział neutrina!

## Oddziaływania słabe

Są najłabsze, ale też z pewnością najbardziej skomplikowane z pośród wszystkich oddziaływań podstawowych:

- pośredniczą masywne nośniki  $W^\pm$  i  $Z^0$   
fotony i gluony są bezmasowe

## Oddziaływania słabe

Są najłabsze, ale też z pewnością najbardziej skomplikowane z pośród wszystkich oddziaływań podstawowych:

- pośredniczą masywne nośniki  $W^\pm$  i  $Z^0$   
fotony i gluony są bezmasowe
- mogą zmieniać zapach cząstki (w oddziaływaniach CC)  
w oddziaływaniach silnych i EM zapach jest zachowany

## Oddziaływania słabe

Są najłabsze, ale też z pewnością najbardziej skomplikowane z pośród wszystkich oddziaływań podstawowych:

- pośredniczą masywne nośniki  $W^\pm$  i  $Z^0$   
fotony i gluony są bezmasowe
- mogą zmieniać zapach cząstki (w oddziaływaniach CC)  
w oddziaływaniach silnych i EM zapach jest zachowany
- łamią symetrie parzystości: świat odbity wygląda “inaczej”  
parzystość zachowana w oddziaływaniach silnych i EM

## Oddziaływania słabe

Są najłabsze, ale też z pewnością najbardziej skomplikowane z pośród wszystkich oddziaływań podstawowych:

- pośredniczą masywne nośniki  $W^\pm$  i  $Z^0$   
fotony i gluony są bezmasowe
- mogą zmieniać zapach cząstki (w oddziaływaniach CC)  
w oddziaływaniach silnych i EM zapach jest zachowany
- łamią symetrie parzystości: świat odbity wygląda “inaczej”  
parzystość zachowana w oddziaływaniach silnych i EM
- łamią sprzężenie ładunkowe: antycząstki oddziałują inaczej niż cząstki  
oddziaływani silne i EM takie same

## Oddziaływania słabe

Są najłabsze, ale też z pewnością najbardziej skomplikowane z pośród wszystkich oddziaływań podstawowych:

- pośredniczą masywne nośniki  $W^\pm$  i  $Z^0$   
fotony i gluony są bezmasowe
- mogą zmieniać zapach cząstki (w oddziaływaniach CC)  
w oddziaływaniach silnych i EM zapach jest zachowany
- łamią symetrie parzystości: świat odbity wygląda “inaczej”  
parzystość zachowana w oddziaływaniach silnych i EM
- łamią sprzężenie ładunkowe: antycząstki oddziałują inaczej niż cząstki  
oddziaływani silne i EM takie same

Jeśli nawiążemy kontakt z kosmitami (za pośrednictwem fal radiowych), będziemy mogli sprawdzić, czy są zbudowani z materii czy z antymaterii...

## Oddziaływania słabe

Mogłoby się wydawać, że są jednocześnie najmniej dla nas istotne...

Wprost przeciwnie!

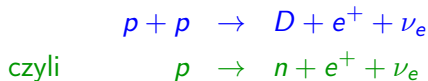
# Oddziaływania podstawowe

## Oddziaływania słabe

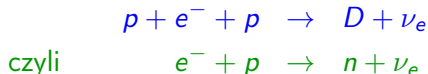
Mogłoby się wydawać, że są jednocześnie najmniej dla nas istotne...

Wprost przeciwnie!

Oddziaływania słabe są odpowiedzialne za przemiany termojądrowe w Słońcu. Proces spalania wodoru zaczyna się od procesu **p-p**:



deuter produkowany jest także w reakcji “**pep**”:





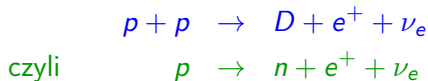
# Oddziaływania podstawowe

## Oddziaływania słabe

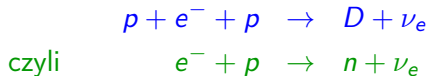
Mogłoby się wydawać, że są jednocześnie najmniej dla nas istotne...

Wprost przeciwnie!

Oddziaływania słabe są odpowiedzialne za przemiany termojądrowe w Słońcu. Proces spalania wodoru zaczyna się od procesu **p-p**:



deuter produkowany jest także w reakcji “**pep**”:



Ponieważ są to oddziaływania słabe to reakcje te zachodzą bardzo powoli! Słońce świeci od ok. 5 mld. lat, dzięki temu mogło rozwinąć się życie na Ziemi. Gdyby oddziaływania słabe były silniejsze, nie mielibyśmy szans...